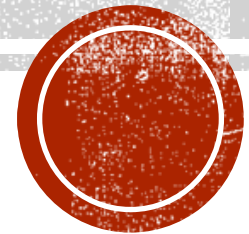


REDES NEURAIS ARTIFICIAIS

AULA 4 – REDE *PERCEPTRON MULTICAMADAS*

Prof. Rodrigo Palácios

rodrigopalacios@utfpr.edu.br



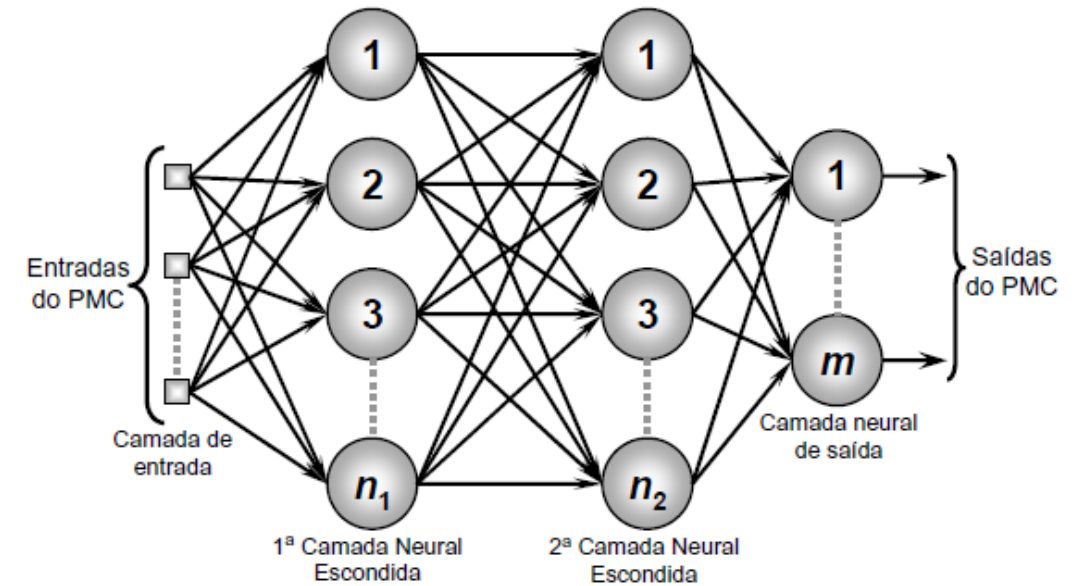
REDE *PERCEPTRON MULTICAMADAS*

- **Aspectos da arquitetura**
 - Redes *Perceptron de Múltiplas Camadas* (**PMC**), também conhecidas como redes **MLP** (**Multi Layer Perceptron**), são caracterizadas pela presença de pelo menos uma camada intermediária (escondida) de neurônios.
 - As camadas intermediárias são aquelas situadas entre a camada de entrada e a respectiva camada neural de saída.
 - Consequentemente, as redes **PMC** possuem no mínimo duas camadas de neurônios, os quais estarão distribuídos entre as camadas intermediárias e a camada de saída.
 - Redes **PMC** é uma das mais versáteis quanto às suas aplicações, podendo ser utilizadas nos seguintes tipos de problemas:
 - Aproximação universal de funções.
 - Classificação de padrões.
 - Identificação e controle de processos.
 - Previsão de séries temporais.
 - Otimização de sistemas.
 - O **PMC** pertence à arquitetura *feedforward* de camadas múltiplas.
 - O treinamento do **PMC** é executado de forma **SUPERVISIONADA**.

REDE *PERCEPTRON* MULTICAMADAS

- **Fluxo de Informações**

- Síntese do fluxo de informações na estrutura da rede **PMC**:
 1. Inicia-se na camada de entrada;
 2. Percorre, em seguida, as camadas intermediárias;
 3. Finaliza-se na camada neural de saída.
- No **PMC** convencional inexistente qualquer tipo de realimentação de valores produzidos pela camada neural de saída ou pelas próprias camadas neurais intermediárias.



REDE *PERCEPTRON* MULTICAMADAS

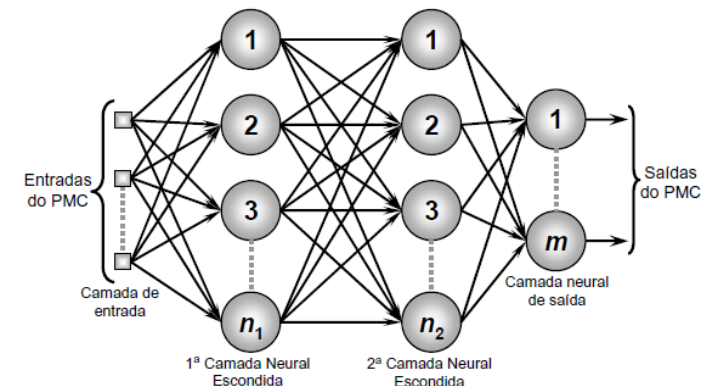
■ Princípios de Funcionamento

■ Síntese do funcionamento da rede **PMC**:

1. As entradas do **PMC**, representando os sinais advindos de determinada aplicação, será propagada camada-a-camada em direção à sua camada neural de saída.
2. As saídas dos neurônios da primeira camada neural de saída serão as próprias entradas daqueles neurônios pertencentes à segunda camada neural escondida.
3. As saídas dos neurônios da segunda camada neural escondida serão as respectivas entradas dos neurônios pertencentes à sua camada neural de saída.

■ Diferentemente do Perceptron e ADALINE, além da presença de camadas escondidas, a camada neural de saída do PMC pode ser composta por diversos neurônios:

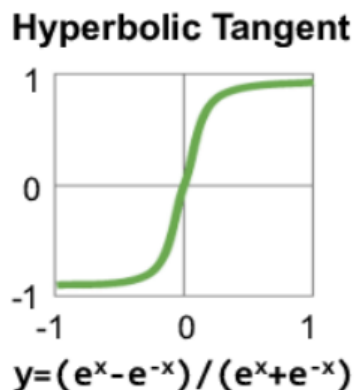
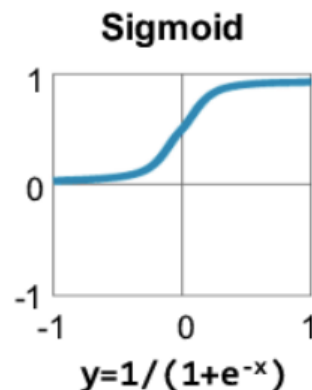
- Cada um destes neurônios de saída representaria uma das saídas do processo a ser mapeado.
 - As camadas intermediárias, por sua vez, extraem a maioria das informações referentes ao seu comportamento e as codificam por meio dos pesos sinápticos e limiares de seus neurônios.
- ### ■ O projeto de um PMC depende dos seguintes aspectos:
- Classe de problema a ser tratado.
 - Disposição espacial das amostras de treinamento.
 - Valores iniciais atribuídos tanto aos parâmetros de treinamento como para as matrizes de pesos.
 - Nível de ruídos presentes nas amostras de treinamento.



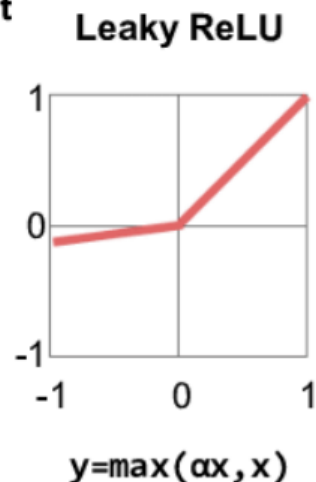
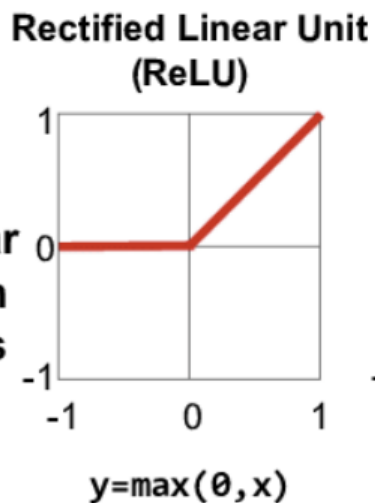
REDE *PERCEPTRON* MULTICAMADAS

■ Funções de ativação

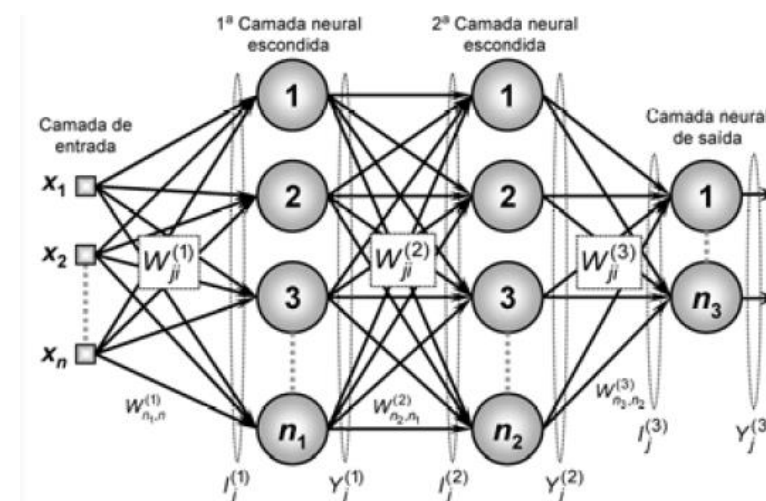
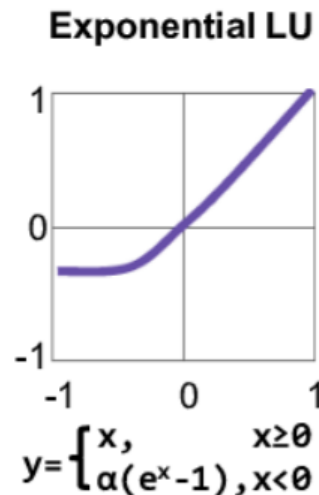
Traditional
Non-Linear
Activation
Functions



Modern
Non-Linear
Activation
Functions



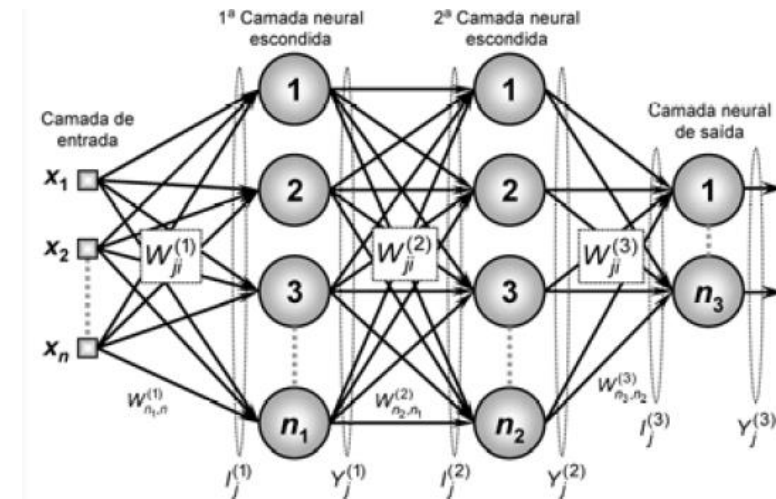
α = small const. (e.g. 0.1)



REDE *PERCEPTRON MULTICAMADAS*

- **Funções de ativação**

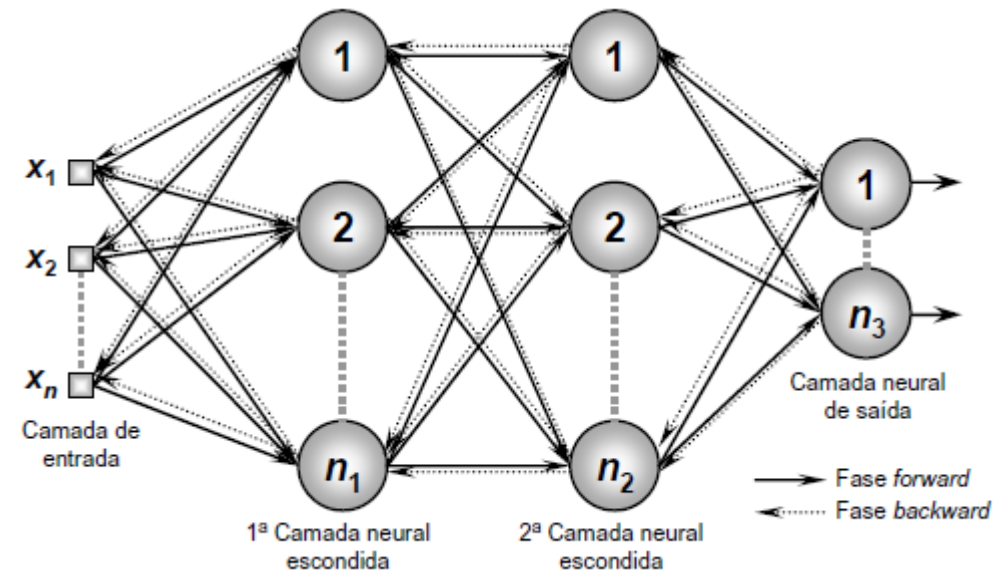
- Sigmóides e tangente hiperbólica não são tão eficientes quando a RNA possuem muitas camadas na rede.
- Neste caso, em geral, aplica-se sigmóide ou tangente hiperbólica na última camada (na saída) quando o problema é de classificação de padrões.
- Em redes com muitas camadas, nas internas adota-se outras funções de ativação como a ReLU ou outras mais especializadas para imagens (redes convolucionais).



REDE *PERCEPTRON* MULTICAMADAS

■ Introdução ao Algoritmo *backpropagation*

- O processo de treinamento do **PMC** é feito mediante o algoritmo ***backpropagation***, conhecido também como *regra delta generalizada*.
 - O processo é realizado por meio das aplicações sucessivas de **duas fases** bem específicas.
- Como ilustração, considera-se um **PMC** constituído de duas camadas escondidas, tendo-se a seguinte composição:
 - n sinais em sua camada de entrada.
 - n_1 neurônios na primeira camada neural escondida.
 - n_2 neurônios na segunda camada neural escondida.
 - n_3 sinais associados à camada neural de saída (terceira camada neural).



REDE *PERCEPTRON* MULTICAMADAS

■ Fases do Algoritmo *backpropagation*

■ Primeira Fase → *Forward* (propagação adiante)

- Os sinais $\{x_1, x_2, \dots, x_n\}$ de uma amostra de treinamento são inseridos nas entradas da rede.
- Estes são propagados camada-a-camada até a produção das respectivas saídas.
- Leva-se em consideração apenas valores atuais de pesos sinápticos e limiares de seus neurônios, os quais permanecerão inalterados durante cada execução desta fase.
- **CONCLUSÃO:** A aplicação desta fase visa tão somente obter as respostas da rede.

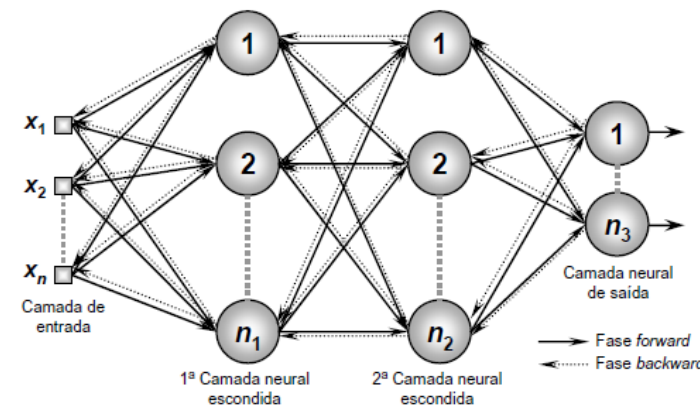
- As respostas produzidas pelas saídas do **PMC** são comparadas com as respectivas respostas desejadas (aprendizado supervisionado).

■ Segunda Fase → *Backward* (propagação reversa)

- Baseados nos desvios (erros) entre às respostas desejadas e àquelas produzidas pelos neurônios de saída, ajustam-se os pesos e limiares dos neurônio do **PMC**.
- **CONCLUSÃO:** A aplicação desta fase visa então ajustar pesos e limiares de todos os neurônios.

- Em suma, tem-se:

- As aplicações sucessivas de ambas as fazem com que os pesos sinápticos e limiares dos neurônios se ajustem automaticamente em cada iteração.
- Consequentemente, ter-se-á então uma gradativa diminuição da soma dos erros produzidos pelas respostas da rede frente àquelas desejadas.
- O processo cessa quando essa soma dos erros já estiver dentro de valores aceitáveis.

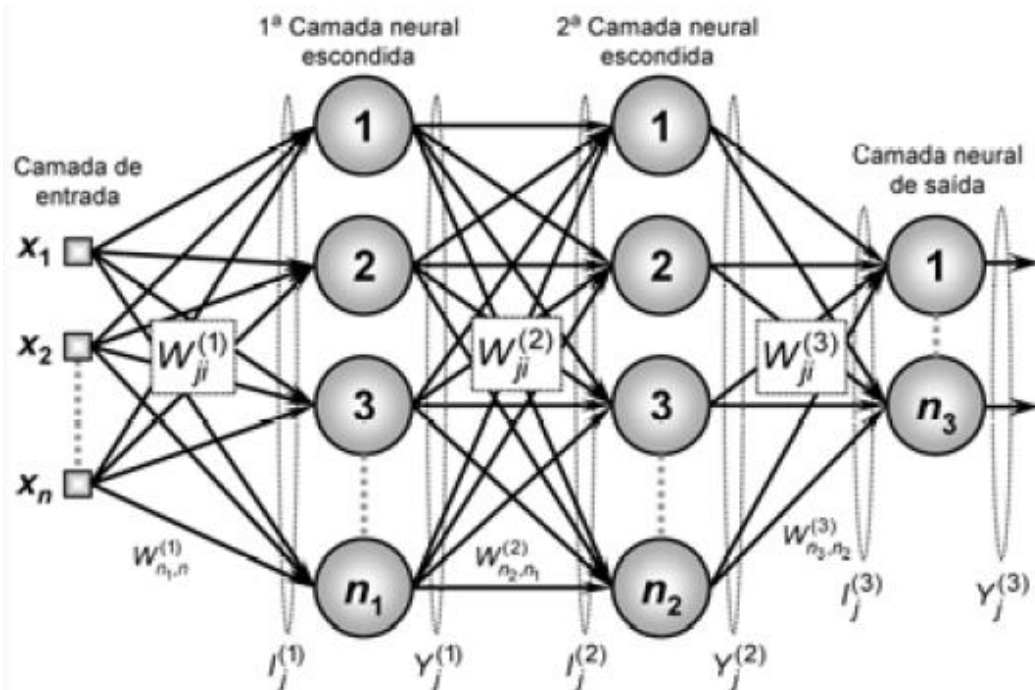


REDE *PERCEPTRON* MULTICAMADAS

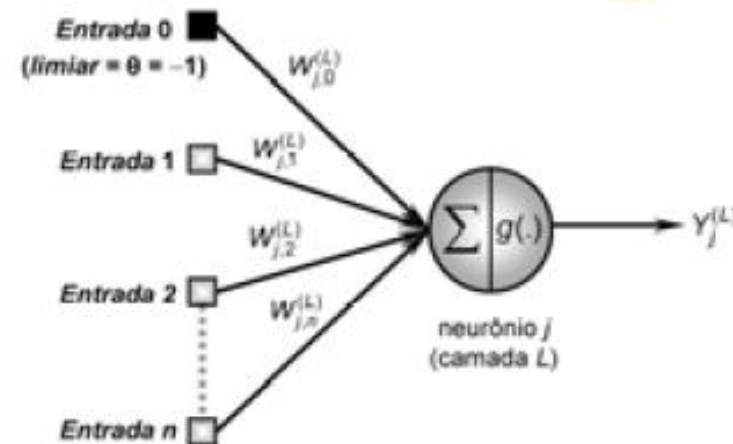
▪ Derivação do Algoritmo *backpropagation*

$W_{ji}^{(L)}$ são matrizes de pesos cujos elementos denotam o valor do peso conectando o j -ésimo neurônio da camada (L) ao i -ésimo neurônio da camada ($L-1$). Para a topologia ilustrada, tem-se:

- $W_{ji}^{(3)}$ é o peso sináptico conectando o j -ésimo neurônio da camada de saída ao i -ésimo neurônio da camada 2.
- $W_{ji}^{(2)}$ é o peso sináptico conectando o j -ésimo neurônio da camada escondida 2 ao i -ésimo neurônio da camada 1.
- $W_{ji}^{(1)}$ é o peso sináptico conectando o j -ésimo neurônio da camada 1 ao i -ésimo sinal da camada de entrada.



Cada neurônio tem a seguinte configuração:



REDE *PERCEPTRON MULTICAMADAS*

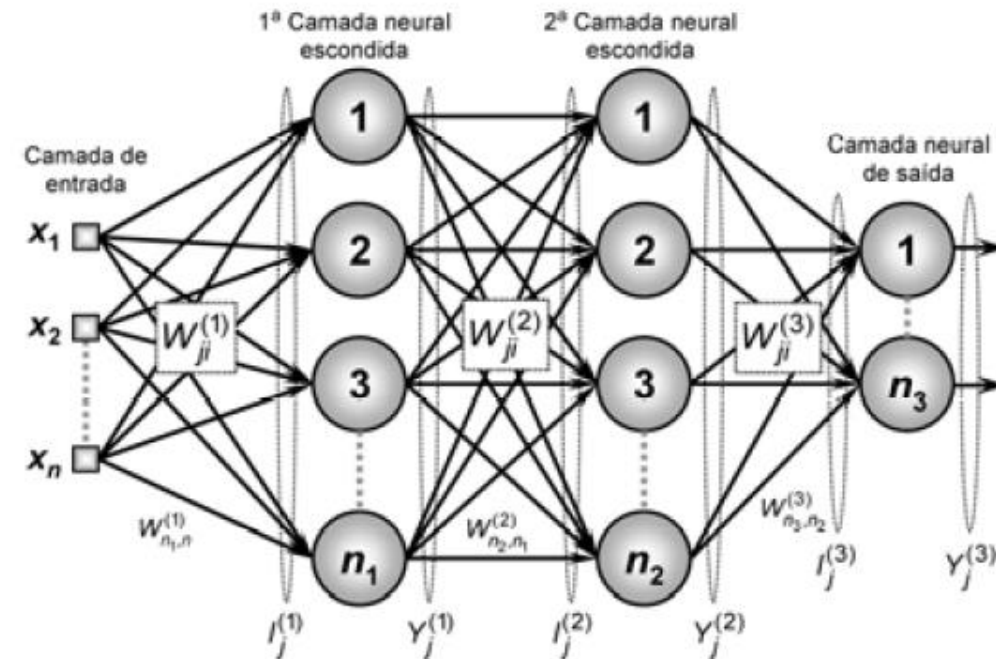
- Definindo variáveis e parâmetros (Vetores de Entradas) (Algoritmo *backpropagation*)

$I_j^{(L)}$ são vetores cujos elementos denotam a entrada ponderada em relação ao j -ésimo neurônio da camada L , os quais são definidos por:

$$I_j^{(1)} = \sum_{i=0}^n W_{ji}^{(1)} \cdot x_i \Leftrightarrow I_j^{(1)} = W_{1,0}^{(1)} \cdot x_0 + W_{1,1}^{(1)} \cdot x_1 + \dots + W_{1,n}^{(1)} \cdot x_n \quad (1)$$

$$I_j^{(2)} = \sum_{i=0}^{n_1} W_{ji}^{(2)} \cdot Y_i^{(1)} \Leftrightarrow I_j^{(2)} = W_{1,0}^{(2)} \cdot Y_0^{(1)} + W_{1,1}^{(2)} \cdot Y_1^{(1)} + \dots + W_{1,n_1}^{(2)} \cdot Y_{n_1}^{(1)} \quad (2)$$

$$I_j^{(3)} = \sum_{i=0}^{n_2} W_{ji}^{(3)} \cdot Y_i^{(2)} \Leftrightarrow I_j^{(3)} = W_{1,0}^{(3)} \cdot Y_0^{(2)} + W_{1,1}^{(3)} \cdot Y_1^{(2)} + \dots + W_{1,n_2}^{(3)} \cdot Y_{n_2}^{(2)} \quad (3)$$



REDE *PERCEPTRON MULTICAMADAS*

- Definindo variáveis e parâmetros (Vetores de Saída) (Algoritmo *backpropagation*)

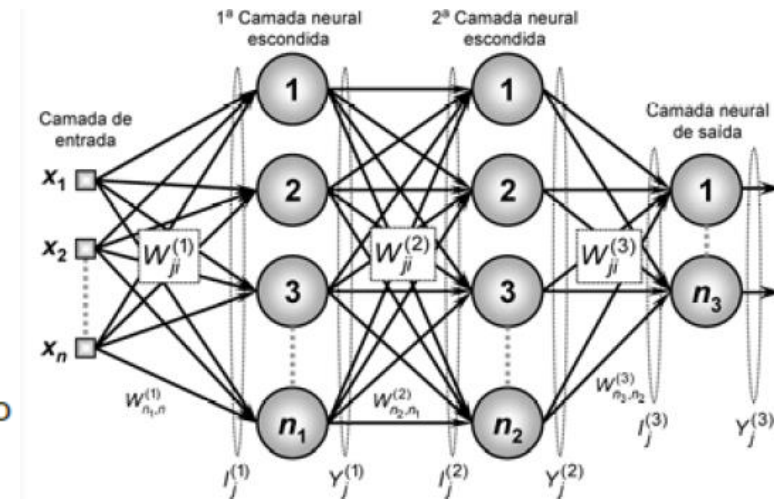
$Y_j^{(L)}$ são vetores cujos elementos denotam a saída do j -ésimo neurônio em relação à camada L , os quais são definidos por:

$$\blacksquare Y_j^{(1)} = g(I_j^{(1)}) \quad (4)$$

$$\blacksquare Y_j^{(2)} = g(I_j^{(2)}) \quad (5)$$

$$\blacksquare Y_j^{(3)} = g(I_j^{(3)}) \quad (6)$$

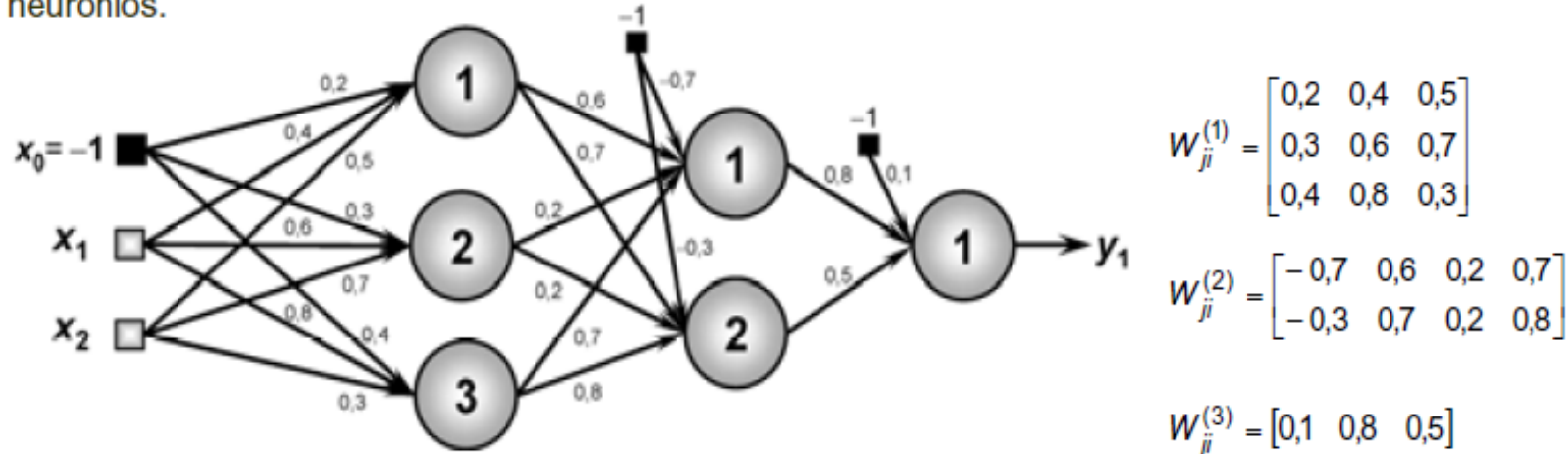
O funcional $g(.)$ representa uma função de ativação que deve ser contínua e diferenciável em todo o seu domínio, tais como a função de ativação logística ou tangente hiperbólica.



REDE PERCEPTRON MULTICAMADAS

Definindo variáveis e parâmetros (Exemplos) (Algoritmo *backpropagation*)

Considera-se um **PMC** composto de duas entradas x_1 e x_2 ($n = 2$), 3 neurônios na primeira camada escondida ($n_1 = 3$), 2 neurônios na segunda camada escondida ($n_2 = 2$) e um neurônio de saída ($n_3 = 1$). Considera-se também que a tangente hiperbólica é ativação para todos os neurônios.



Cálculo de $I_j^{(1)}$ e $Y_j^{(1)}$ para $x_1=0,3$ e $x_2 = 0,7$:

$$I_j^{(1)} = \begin{bmatrix} I_1^{(1)} \\ I_2^{(1)} \\ I_3^{(1)} \end{bmatrix} = \begin{bmatrix} W_{1,0}^{(1)} \cdot x_0 + W_{1,1}^{(1)} \cdot x_1 + W_{1,2}^{(1)} \cdot x_2 \\ W_{2,0}^{(1)} \cdot x_0 + W_{2,1}^{(1)} \cdot x_1 + W_{2,2}^{(1)} \cdot x_2 \\ W_{3,0}^{(1)} \cdot x_0 + W_{3,1}^{(1)} \cdot x_1 + W_{3,2}^{(1)} \cdot x_2 \end{bmatrix} = \begin{bmatrix} 0,2 \cdot (-1) + 0,4 \cdot 0,3 + 0,5 \cdot 0,7 \\ 0,3 \cdot (-1) + 0,6 \cdot 0,3 + 0,7 \cdot 0,7 \\ 0,4 \cdot (-1) + 0,8 \cdot 0,3 + 0,3 \cdot 0,7 \end{bmatrix} = \begin{bmatrix} 0,27 \\ 0,37 \\ 0,05 \end{bmatrix}$$

$$Y_j^{(1)} = \begin{bmatrix} Y_1^{(1)} \\ Y_2^{(1)} \\ Y_3^{(1)} \end{bmatrix} = \begin{bmatrix} g(I_1^{(1)}) \\ g(I_2^{(1)}) \\ g(I_3^{(1)}) \end{bmatrix} = \begin{bmatrix} \tanh(0,27) \\ \tanh(0,37) \\ \tanh(0,05) \end{bmatrix} = \begin{bmatrix} 0,26 \\ 0,35 \\ 0,05 \end{bmatrix} \xrightarrow{Y_0^{(1)} = -1} Y_j^{(1)} = \begin{bmatrix} Y_0^{(1)} \\ Y_1^{(1)} \\ Y_2^{(1)} \\ Y_3^{(1)} \end{bmatrix} = \begin{bmatrix} -1 \\ 0,26 \\ 0,35 \\ 0,05 \end{bmatrix}$$

Cálculo de $I_j^{(2)}$ e $Y_j^{(2)}$:

$$I_j^{(2)} = \begin{bmatrix} I_1^{(2)} \\ I_2^{(2)} \end{bmatrix} = \begin{bmatrix} W_{1,0}^{(2)} \cdot Y_0^{(1)} + W_{1,1}^{(2)} \cdot Y_1^{(1)} + W_{1,2}^{(2)} \cdot Y_2^{(1)} + W_{1,3}^{(2)} \cdot Y_3^{(1)} \\ W_{2,0}^{(2)} \cdot Y_0^{(1)} + W_{2,1}^{(2)} \cdot Y_1^{(1)} + W_{2,2}^{(2)} \cdot Y_2^{(1)} + W_{2,3}^{(2)} \cdot Y_3^{(1)} \end{bmatrix} = \begin{bmatrix} 0,96 \\ 0,59 \end{bmatrix}$$

$$Y_j^{(2)} = \begin{bmatrix} Y_1^{(2)} \\ Y_2^{(2)} \end{bmatrix} = \begin{bmatrix} g(I_1^{(2)}) \\ g(I_2^{(2)}) \end{bmatrix} = \begin{bmatrix} \tanh(0,96) \\ \tanh(0,59) \end{bmatrix} = \begin{bmatrix} 0,74 \\ 0,53 \end{bmatrix} \xrightarrow{Y_0^{(2)} = -1} Y_j^{(2)} = \begin{bmatrix} Y_0^{(2)} \\ Y_1^{(2)} \\ Y_2^{(2)} \end{bmatrix} = \begin{bmatrix} -1 \\ 0,74 \\ 0,53 \end{bmatrix}$$

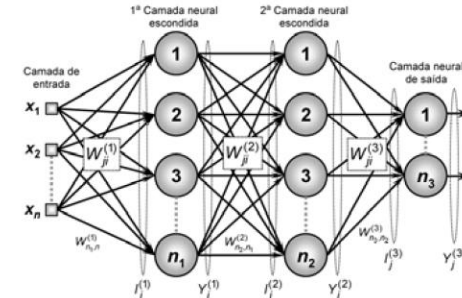
Cálculo de $I_j^{(3)}$ e $Y_j^{(3)}$ (saída da rede):

$$I_j^{(3)} = \begin{bmatrix} I_1^{(3)} \end{bmatrix} = \begin{bmatrix} W_{1,0}^{(3)} \cdot Y_0^{(2)} + W_{1,1}^{(3)} \cdot Y_1^{(2)} + W_{1,2}^{(3)} \cdot Y_2^{(2)} \end{bmatrix} = \begin{bmatrix} 0,76 \end{bmatrix}$$

$$Y_j^{(3)} = \begin{bmatrix} Y_1^{(3)} \end{bmatrix} = \begin{bmatrix} g(I_1^{(3)}) \end{bmatrix} = \begin{bmatrix} \tanh(0,76) \end{bmatrix} = \begin{bmatrix} 0,64 \end{bmatrix}$$



REDE *PERCEPTRON MULTICAMADAS*



- **Definindo a função representativa dos erros (desvios) (*Backpropagation*)**

- A sua incumbência será medir o desvio entre as respostas produzidas pelos neurônios de saída da rede em relação aos respectivos valores desejados.
- Considerando a k -ésima amostra de treinamento para a topologia ilustrada abaixo, assume-se a função erro quadrático como aquela a ser utilizada para medir o desempenho local associado aos resultados produzidos pelos neurônios de saída frente à referida amostra, ou seja:

$$E(k) = \frac{1}{2} \sum_{j=1}^{n_3} (d_j(k) - Y_j^{(3)}(k))^2 \quad (7)$$

onde $d_j(k)$ é o respectivo valor desejado para a k -ésima amostra.

- Consequentemente, para um conjunto de treinamento composto por p amostras, a evolução do desempenho global do aprendizado pode ser feito por meio da avaliação do “erro quadrático médio”, isto é:

$$E_M = \frac{1}{p} \sum_{k=1}^p E(k) \quad (8)$$

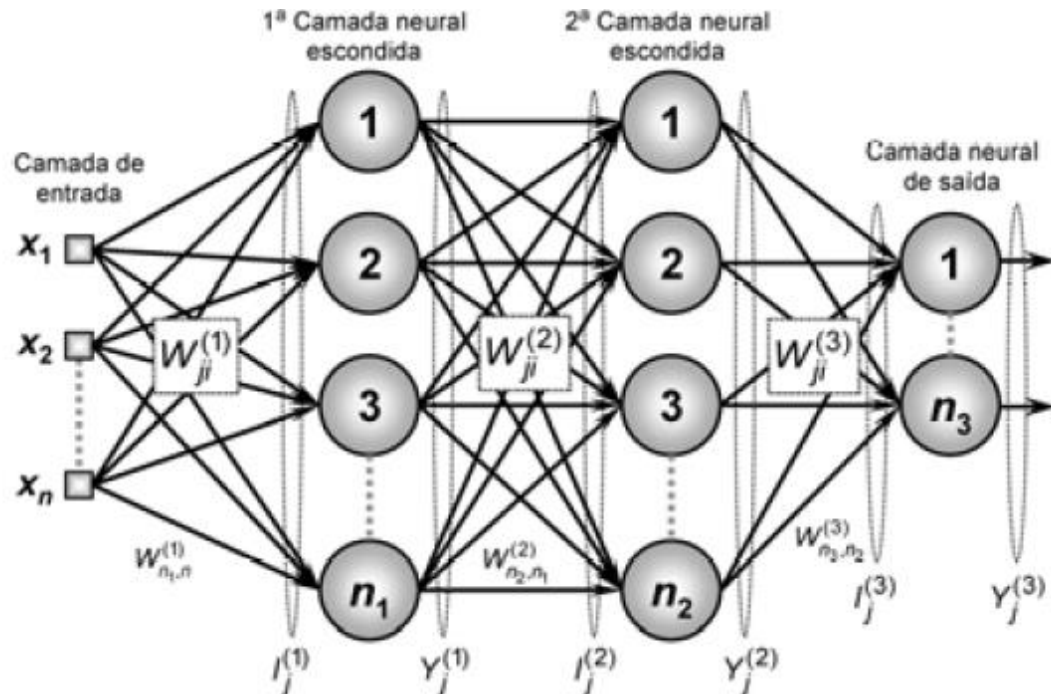
onde $E(k)$ é o erro quadrático obtido em (7).

- Para melhor entendimento, divide-se o algoritmo em duas partes:
 - Parte I: destinada ao ajuste da matriz de pesos sinápticos referente à camada neural de saída.
 - Parte II: destinada ao ajuste das matrizes de pesos associadas às camadas intermediárias.



REDE *PERCEPTRON* MULTICAMADAS

- **Parte I → Ajuste da matriz de pesos da camada de saída (*Backpropagation*)**
 - Consiste de ajustar a matriz $W_{ji}^{(3)}$ a fim de minimizar o erro entre a saída da rede frente à saída desejada.
- **Parte II(a) → Ajuste da matriz de pesos da 2ª camada escondida (*Backpropagation*)**
 - Consiste de ajustar a matriz $W_{ji}^{(2)}$.
- **Parte II(b) → Ajuste da matriz de pesos da 1ª camada escondida (*Backpropagation*)**
 - Consiste de ajustar a matriz $W_{ji}^{(1)}$.



- **Para conhecimento e estudo da matemática de ajuste dos pesos $W_{ji}^{(1)}$, $W_{ji}^{(2)}$ e $W_{ji}^{(3)}$ consultar o livro: SILVA, Ivan Nunes da e SPATTI, Danilo Hernane e FLAUZINO, Rogério Andrade. Redes neurais artificiais para engenharia e ciências aplicadas. . São Paulo: Artliber Editora, Capítulo 5.**



REDE *PERCEPTRON* MULTICAMADAS

▪ Aspectos de Preparação de Dados: Montagem do Conjunto de Treinamentos

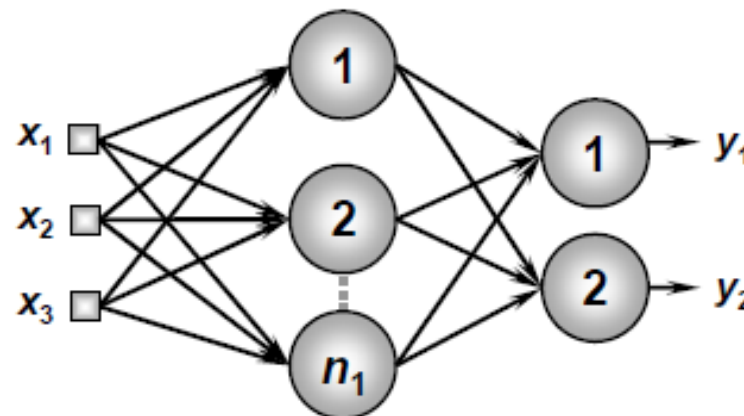
- Supõe-se que um problema a ser mapeado pelo **PMC** tenha três entradas $\{x_1, x_2, x_3\}$, e duas saídas $\{y_1, y_2\}$ conforme a figura ao lado (abaixo).
- Assume-se que se tem quatro amostras, constituída dos seguintes valores de entrada:

Amostra 1 → Entrada: [0,2 0,9 0,4] → Saída desejada: [0,7 0,3]

Amostra 2 → Entrada: [0,1 0,3 0,5] → Saída desejada: [0,6 0,4]

Amostra 3 → Entrada: [0,9 0,7 0,8] → Saída desejada: [0,9 0,5]

Amostra 4 → Entrada: [0,6 0,4 0,3] → Saída desejada: [0,2 0,8]



Conjunto de treinamento

$x^{(1)} = [-1 \ 0,2 \ 0,9 \ 0,4]^T \rightarrow \text{com } d^{(1)} = [0,7 \ 0,3]^T$
 $x^{(2)} = [-1 \ 0,1 \ 0,3 \ 0,5]^T \rightarrow \text{com } d^{(2)} = [0,6 \ 0,4]^T$
 $x^{(3)} = [-1 \ 0,9 \ 0,7 \ 0,8]^T \rightarrow \text{com } d^{(3)} = [0,9 \ 0,5]^T$
 $x^{(4)} = [-1 \ 0,6 \ 0,4 \ 0,3]^T \rightarrow \text{com } d^{(4)} = [0,2 \ 0,8]^T$

forma
matricial



$$\Omega(x) = \begin{bmatrix} x_0 & x_1 & x_2 & x_3 \\ x_0 & x_1 & x_2 & x_3 \\ x_0 & x_1 & x_2 & x_3 \\ x_0 & x_1 & x_2 & x_3 \end{bmatrix} \begin{bmatrix} x^{(1)} & x^{(2)} & x^{(3)} & x^{(4)} \\ x^{(1)} & x^{(2)} & x^{(3)} & x^{(4)} \\ x^{(1)} & x^{(2)} & x^{(3)} & x^{(4)} \\ x^{(1)} & x^{(2)} & x^{(3)} & x^{(4)} \end{bmatrix}$$
$$\Omega(d) = \begin{bmatrix} d_1 & d_2 \\ d_1 & d_2 \\ d_1 & d_2 \\ d_1 & d_2 \end{bmatrix} \begin{bmatrix} d^{(1)} & d^{(2)} & d^{(3)} & d^{(4)} \\ d^{(1)} & d^{(2)} & d^{(3)} & d^{(4)} \\ d^{(1)} & d^{(2)} & d^{(3)} & d^{(4)} \\ d^{(1)} & d^{(2)} & d^{(3)} & d^{(4)} \end{bmatrix}$$

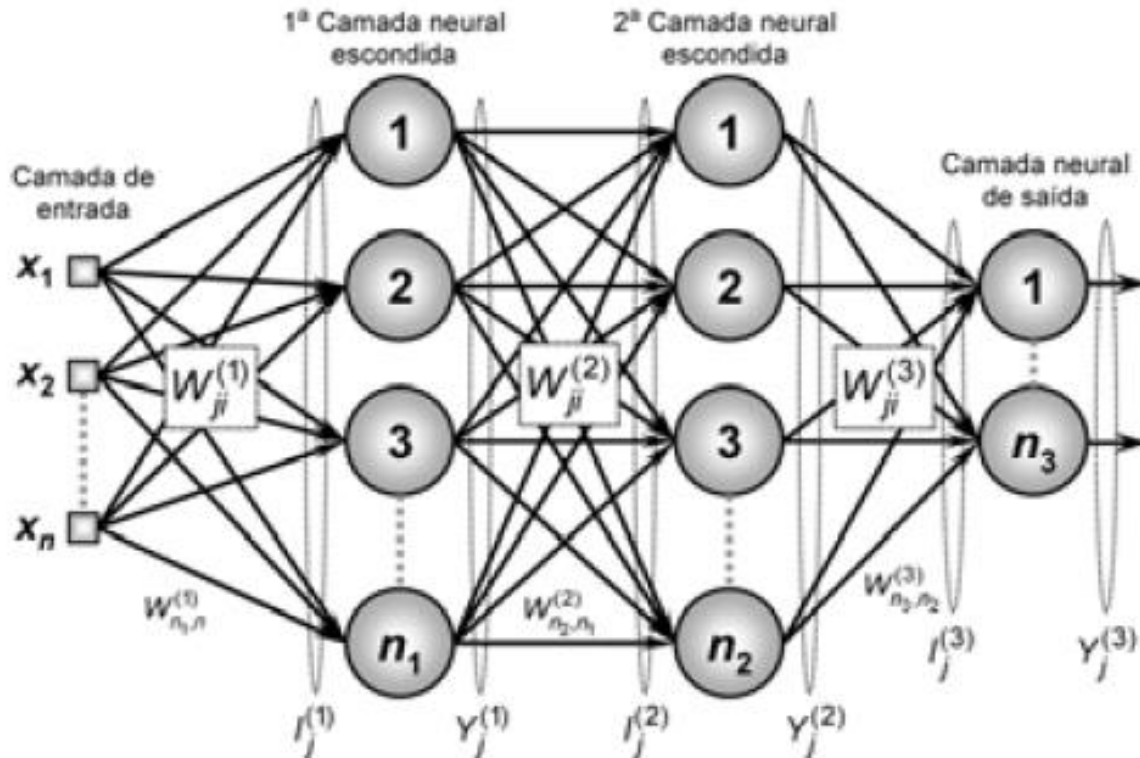
Geralmente, as amostras de treinamento são disponibilizadas em sua forma matricial (por meio de arquivo texto ou planilha).

Então, de forma similar ao **Perceptron** e **ADALINE**, pode-se converter tais sinais para que estes possam ser usados no treinamento do **PMC**:



REDE *PERCEPTRON* MULTICAMADAS

▪ Pseudocódigo para Fase de Treinamento



Início {Algoritmo PMC – Fase de Treinamento}

- <1> Obter o conjunto de amostras de treinamento $\{x^{(k)}\}$;
- <2> Associar o vetor de saída desejada $\{d^{(k)}\}$ para cada amostra;
- <3> Iniciar $w_j^{(1)}$, $w_j^{(2)}$ e $w_j^{(3)}$ com valores aleatórios pequenos;
- <4> Especificar taxa de aprendizagem $\{\eta\}$ e precisão requerida $\{\epsilon\}$;
- <5> Iniciar o contador de número de épocas $\{\text{época} \leftarrow 0\}$;
- <6> Repetir as instruções:
 - <6.1> $E_M^{\text{anterior}} \leftarrow E_M$;
 - <6.2> Para todas as amostras de treinamento $\{x^{(k)}, d^{(k)}\}$, fazer:
 - <6.2.1> Obter $i_j^{(1)}$ e $y_j^{(1)}$;
 - <6.2.2> Obter $i_j^{(2)}$ e $y_j^{(2)}$;
 - <6.2.3> Obter $i_j^{(3)}$ e $y_j^{(3)}$;
 - <6.2.4> Determinar $\delta_j^{(3)}$;
 - <6.2.5> Ajustar $w_j^{(3)}$;
 - <6.2.6> Determinar $\delta_j^{(2)}$;
 - <6.2.7> Ajustar $w_j^{(2)}$;
 - <6.2.8> Determinar $\delta_j^{(1)}$;
 - <6.2.9> Ajustar $w_j^{(1)}$;
 - <6.3> Obter $y_j^{(3)}$ ajustado; {conforme <6.2.1>, <6.2.2> e <6.2.3>};
 - <6.4> $E_M^{\text{atual}} \leftarrow E_M$;
 - <6.5> $\text{época} \leftarrow \text{época} + 1$;

Até que: $|E_M^{\text{atual}} - E_M^{\text{anterior}}| \leq \epsilon$

Fim {Algoritmo PMC – Fase de Treinamento}



REDE *PERCEPTRON MULTICAMADAS*

■ Pseudocódigo para Fase de Operação

Início {Algoritmo PMC – Fase de Operação}

$\left\{ \begin{array}{l} <1> \text{ Obter uma amostra } \{ \mathbf{x} \}; \\ <2> \text{ Assumir } W_{ji}^{(1)}, W_{ji}^{(2)} \text{ e } W_{ji}^{(3)} \text{ já ajustadas no treinamento}; \\ <3> \text{ Execute as seguintes instruções:} \\ \quad \left. \begin{array}{l} <3.1> \text{ Obter } I_j^{(1)} \text{ e } Y_j^{(1)}; \\ <3.2> \text{ Obter } I_j^{(2)} \text{ e } Y_j^{(2)}; \\ <3.3> \text{ Obter } I_j^{(3)} \text{ e } Y_j^{(3)}; \end{array} \right\} \text{ Passo Forward} \\ <4> \text{ Disponibilizar as saídas da rede, as quais são dadas pelos} \\ \quad \text{elementos contidos em } Y_j^{(3)} \end{array} \right.$

Fim {Algoritmo PMC – Fase de Operação}

Obs 1: A “fase de operação” é usada somente após a “fase de treinamento”, pois aqui a rede já está apta para ser usada no processo.

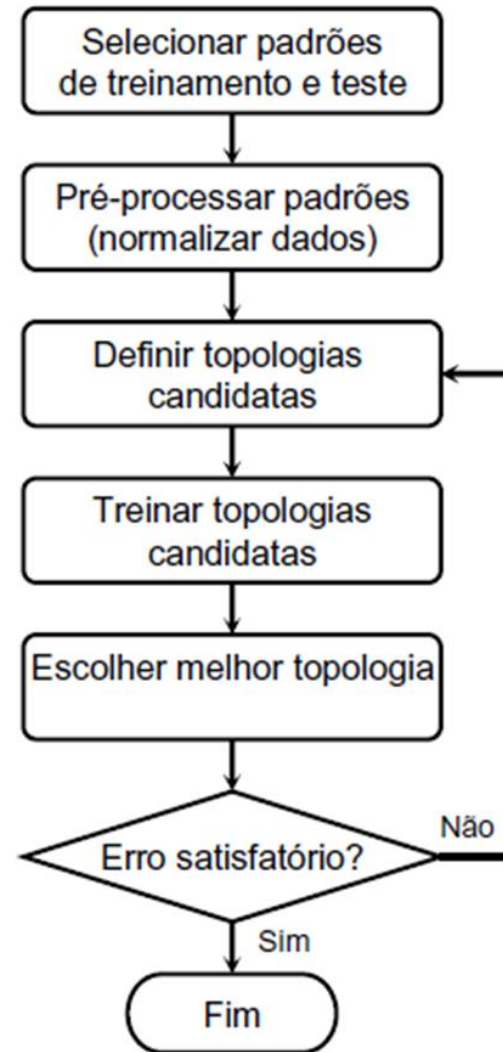
Obs 2: Lembrar de incluir o valor -1 dentro do vetor \mathbf{x} .

$$\mathbf{x} = [-1 \quad x_1 \quad x_2 \dots x_n]^T$$

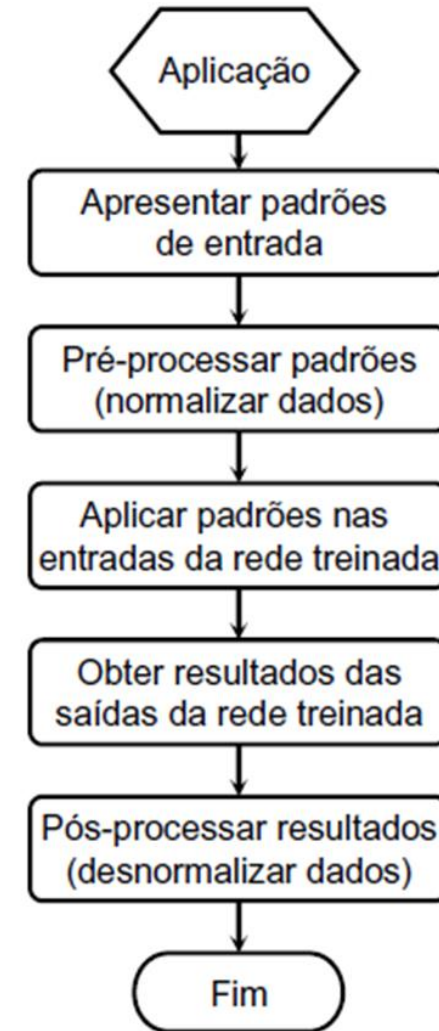


ASPECTOS DE PROJETO DE PMC

- Principais etapas de projeto



(a) Fase de Treinamento

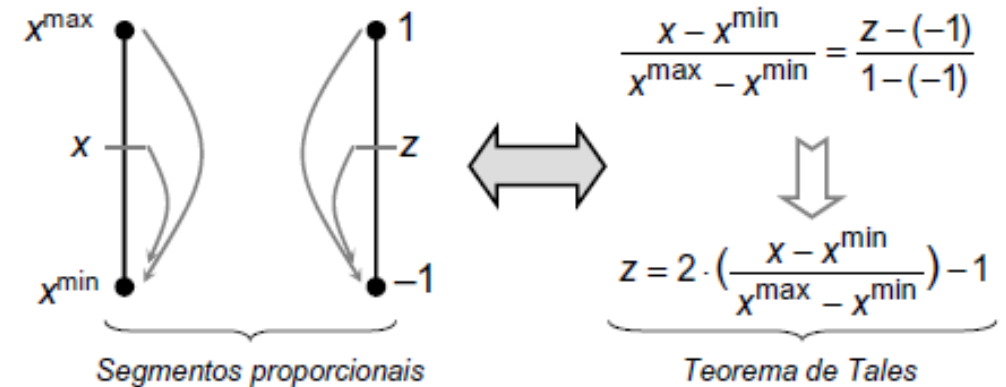


(b) Fase de Operação

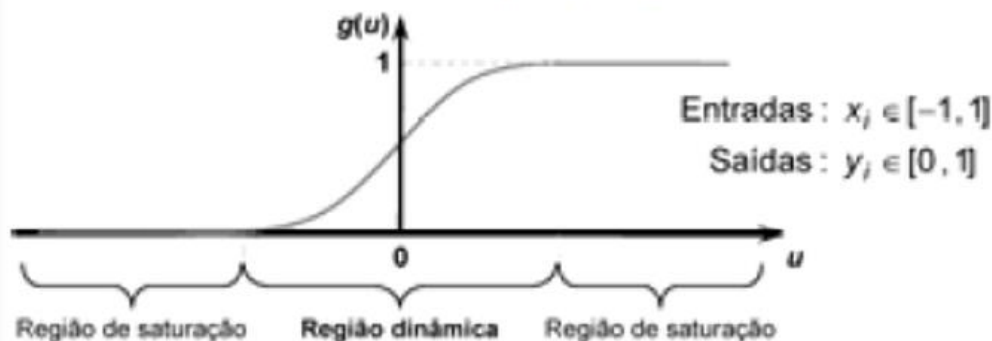


ASPECTOS DE PROJETO DE PMC

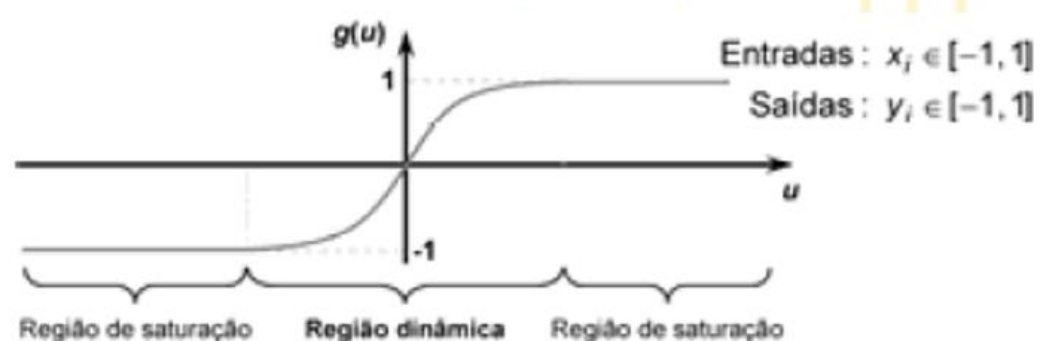
- **Pré-processamento de dados (normalização)**
 - Há necessidade de pré-processamento dos padrões de treinamento/teste visando aspectos de melhoria do desempenho de treinamento.
 - Isto implica geralmente em escalar as respectivas amostras p/ a faixa de variação dinâmica das funções de ativação dos neurônios, evitando-se assim a saturação de suas saídas.
 - Uma das técnicas de escalamento mais utilizada é aquela baseada no princípio dos segmentos proporcionais (Teorema de Tales) ilustrado na figura seguinte, isto é:
 - **Antes de Normalizar** → valores inicialmente compreendidos entre a faixa delimitada por x^{\min} e x^{\max} , ou seja, $x \in [x^{\min}, x^{\max}]$.
 - **Depois de Normalizar** → valores estarão convertidos para um domínio proporcional entre -1 e 1 , o qual representa as faixas de variações dinâmicas das funções de ativação.



● Domínios de normalização (Logística)



● Domínios de normalização (Tangente Hiperbólica)



APLICABILIDADE DO PMC

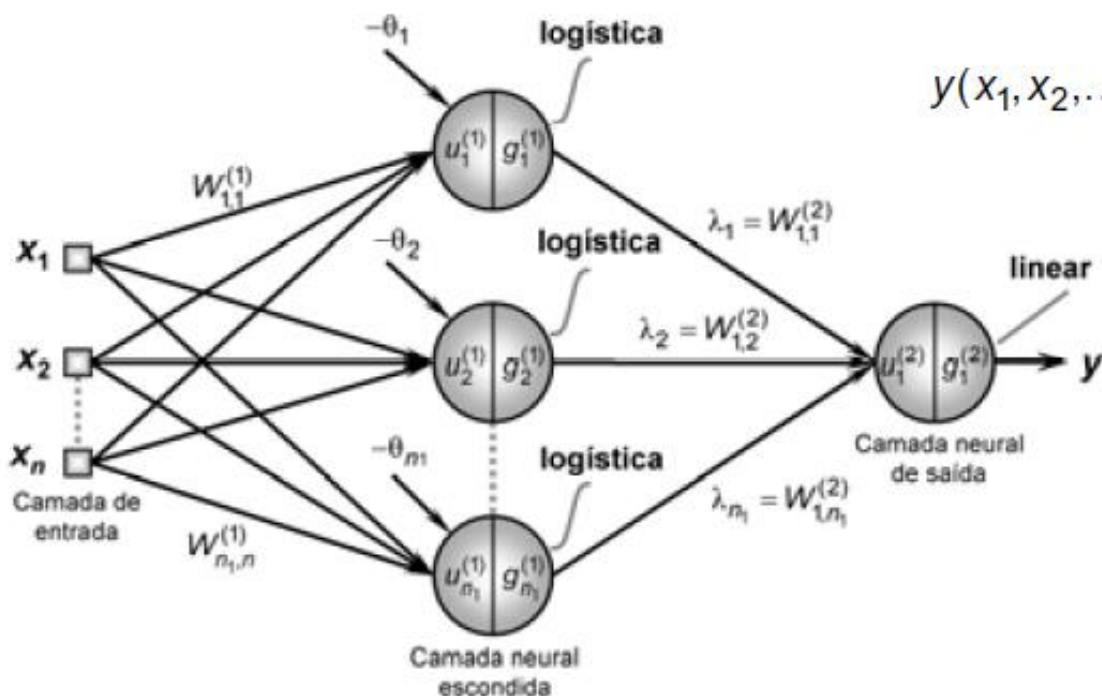
- **Caracterização de problemas de aproximação funcional**

- É a classe de problemas em que as redes **PMC** podem usufruir de maior destaque.
- Consiste de mapear o comportamento de um processo se baseando somente em diversas medições efetivadas em suas entradas e saídas (sem conhecer a modelagem matemática).
- Observa-se aqui uma das principais características intrínsecas das redes neurais artificiais, ou seja, o aprendizado a partir de exemplos.
- No caso de aproximação de funções, traduz-se na disponibilização de um conjunto de entradas/saídas que reproduzem o comportamento do sistema a ser tratado.
- De fato, há muitas aplicações em que as únicas informações disponíveis se resumem a uma coleção de dados de entradas/saídas.
- Nesta direção, constata-se que as **RNA** têm sido extensivamente aplicados nas seguintes situações:
 - O processo a ser modelado é de certa forma complexo.
 - Naqueles casos em que as utilizações de métodos convencionais produzem resultados insatisfatórios.
 - Naqueles casos em que os sistemas convencionais exigem requisitos computacionais bem sofisticados.



APLICABILIDADE DO PMC

- **Aspectos do teorema da aproximação universal (Regressão)**
 - Baseado nas demonstrações de Kolmogorov, estas fornecem as bases para se definir as configurações de redes **PMC** para finalidade de mapear funções algébricas.
 - Assumindo que $g(.)$ a ser adotada nas redes **PMC** sejam contínuas e limitadas em suas imagens, tais como a logística e tangente hiperbólica, demonstra-se então que:
 - Um **PMC**, **composto de apenas uma camada escondida**, é capaz de mapear qualquer função contínua no espaço real. Em termos matemáticos, tem-se:



$$y(x_1, x_2, \dots, x_n) = \sum_{i=1}^{n_1} \underbrace{\lambda_i}_{\text{parcela (i)}} \cdot \underbrace{g_i^{(1)}(u_i^{(1)})}_{\text{parcela (ii)}}$$

$$u_i^{(1)} = \sum_{j=1}^n W_{ji}^{(1)} \cdot x_j - \theta_i$$

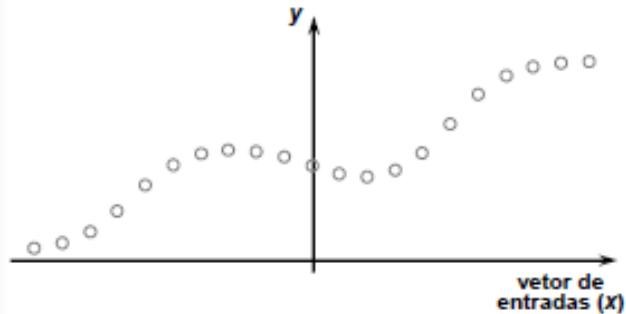
- O neurônio de saída (ativação linear) realiza tão somente a combinação linear das funções de ativação logística implementadas pelos neurônios da camada intermediária.
- A função y a ser mapeada será constituída por superposição de logísticas {parcela (ii)}, representadas pelos termos $g_i^{(1)}(u_i^{(1)})$, que são ponderadas por fatores λ_i {parcela (i)}.



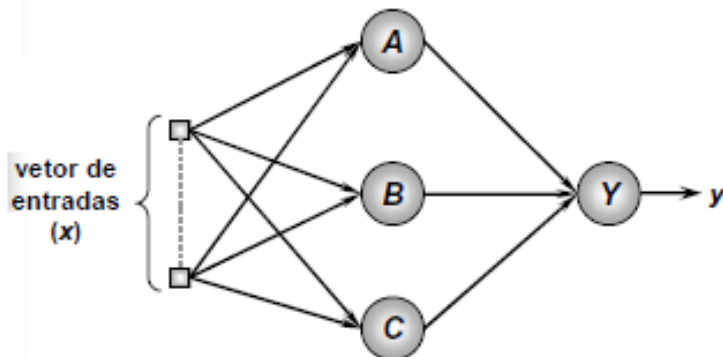
APLICABILIDADE DO PMC

- Teorema da aproximação universal (Ilustração)

- Conjunto de amostras relacionando entradas/saídas referente ao processo (função) a ser mapeado.

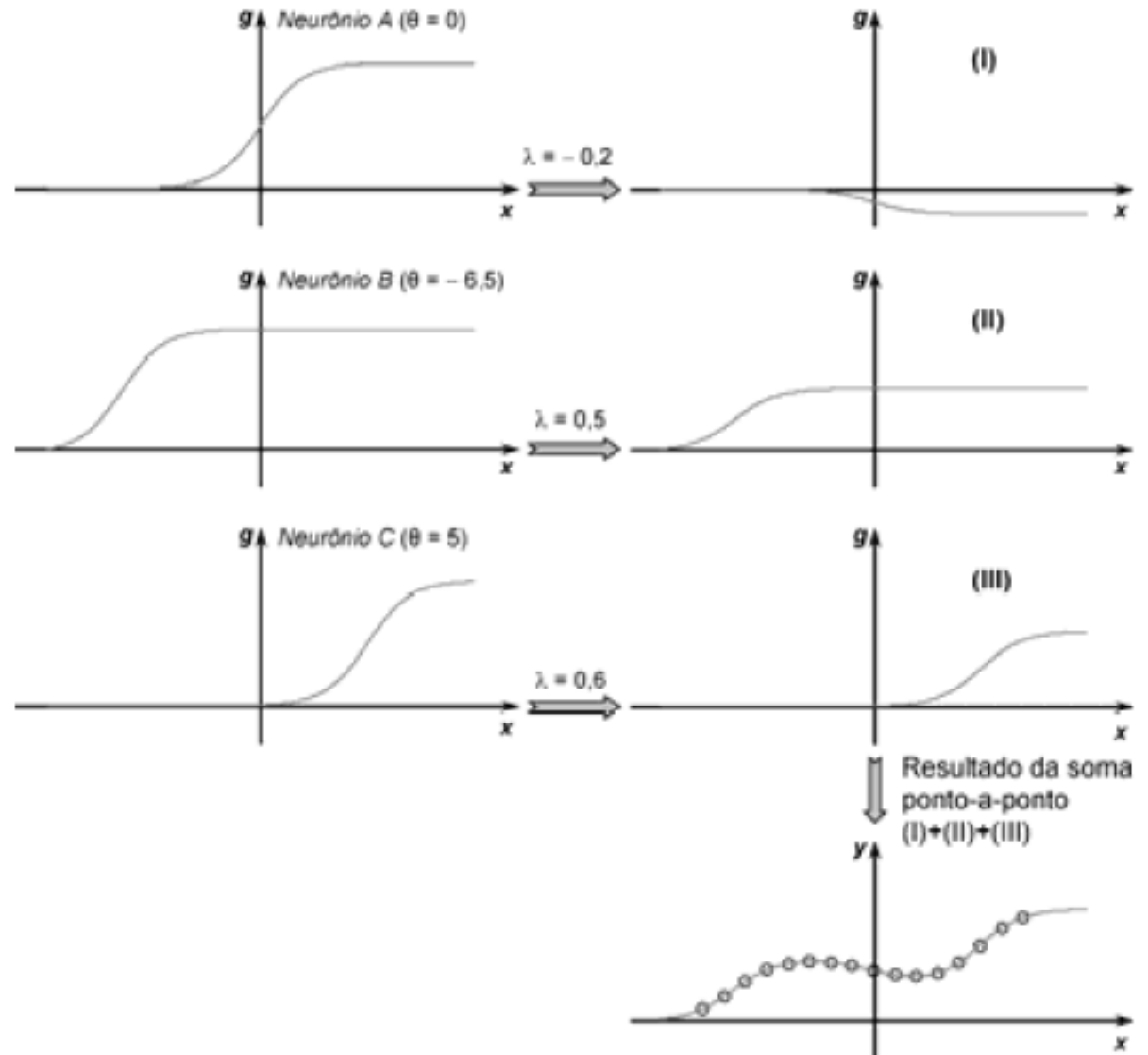


- PMC aplicado para mapear a função representada pelas amostras de treinamento acima:



- Configuração de *PMC* após o ajuste de seus pesos:

- Parâmetro θ \rightarrow responsável pela translação das funções de ativação.
- Parâmetro λ \rightarrow responsável pelo escalamento das funções de ativação.



AINDA SOBRE O PMC

- **Aspectos Práticos**

- Embora um **PMC** com apenas uma camada escondida seja suficiente para mapear qualquer função não-linear contínua definida num domínio compacto (fechado), há situações em que se utilizam mais de duas camadas delas.
- A adoção de mais camadas escondidas podem ser apropriadas tanto para o propósito de incrementar o desempenho do treinamento como de reduzir a topologia estrutural da rede.



REFERÊNCIA

- SILVA, Ivan Nunes da e SPATTI, Danilo Hernane e FLAUZINO, Rogério Andrade. Redes neurais artificiais para engenharia e ciências aplicadas. . São Paulo: Artliber Editora. . Acesso em: 23 dez. 2023. , 2010

